

становится сравнимым с ее величиной.

Из приведенной работы следует, что для повышения точности измерения давления в устройствах для синтеза сверхтвердых материалов при использовании в качестве репера давления $PbSe$, необходимо учитывать влияние исходной температуры деталей устройства на давление фазового перехода.

Литература

1. Верещагин Л.Ф., Семерчан А.А., Кузин Н.Н., Садков Ю.А. -ДАН СССР, 1970, 191, 3.
2. Семерчан А.А., Кузин Н.Н., Дроздова Л.Н., Верещагин Л.Ф.-ДАН СССР, 1963, 152, 5.
3. Прихна А.И., Борисский А.И.-Синтетические алмазы, 1974, вып.3.
4. Бутузов В.П., Гоникберг М.Г., Смирнов С.П. -ДАН СССР, 1953, 89, 651.
5. Руманс К. Структурные исследования некоторых окислов и других халькогенидов при нормальных и высоких давлениях, М., "Мир", 1969.
6. Мосс Т., Баррел Г., Эллис Б. Полупроводниковая оптоэлектроника, М., "Мир", 1976.

СФЕРОИДИЗАЦИЯ ЧАСТИЦ ТУГОПЛАВКИХ МАТЕРИАЛОВ В ТЕРМИЧЕСКОЙ ПЛАЗМЕ*

В.И.Гороховский, Е.В.Столяров, А.Л.Ветров

Термическая плазма применяется в металлургии для получения сферических порошков тугоплавких материалов. Особое внимание при этом уделяется разработке методов, позволяющих сфероидизовать частицы диаметром выше 150 мкм. В ряде случаев / 1 / такие порошки должны иметь определенную степень сферичности, заданный радиус проплавления, высокую абразивную способность и прочность зерен порошков, а также характеризоваться отсутствием внутренних и внешних дефектов.

При исследовании сфероидизации крупных фракций (диаметром выше 150 мкм) порошков тугоплавких материалов в плазме электродугового плазмотрона в качестве генератора низкотемпературной плазмы

* Научный руководитель работы канд. техн. наук В.П.Бондаренко.

был использован электродуговой плазмотрон (рис. I) с водоохлаждаемой межэлектродной вставкой 3 из высокотемпературной керамики.

Поджиг плазмотрона осуществлялся путем закорачивания межэлектродного промежутка факелом вспомогательной дуги, зажигаемой осциллятором между подым водоохлаждаемым катодом 1 и диафрагмой 2. Длина дуги $l_d = 120\text{мм}$. Закалочное устройство 5 представляло полый водоохлаждаемый цилиндр из нержавеющей стали, расположенный соосно каналу плазмотрона после медного водоохлаждаемого анода 4. Обрабатываемый материал, подаваемый из бункера-дозатора вместе с потоком плазмообразующего газа, последовательно проходит полый катод, диафрагму, межэлектродную вставку, анод, закалочное устройство и собирается в поддоне 6.

Для оценки влияния различных факторов на процесс сфероидизации был проведен теоретический анализ теплового взаимодействия между частицей порошка и плазмой. Прежде всего необходимо определить время нагрева и оплавления частицы в плазме. Это наиболее просто решается с помощью интегрального метода решения уравнения нестационарной теплопроводности, развитого в работе / 3 / и примененного к задачам теплового взаимодействия плазмы с твердым телом в работе / 4 /. Уравнение теплопроводности формально интегрируется в областях теплового взаимодействия с учетом граничных условий. Полученные при этом интегралы находятся путем аппроксимации температурных профилей в рассматриваемых областях полиномами, удовлетворяющими соответствующим граничным условиям.

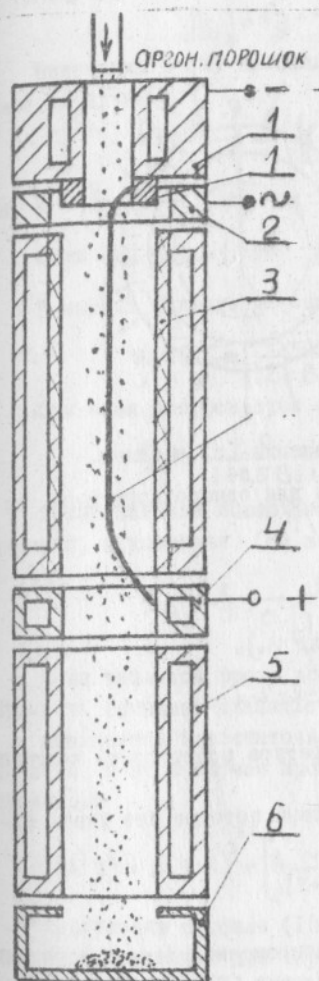


Рис. I. Схема экспериментальной установки.

На рис.2, а показана схема прогрева сферической частицы до начала ее плавления.

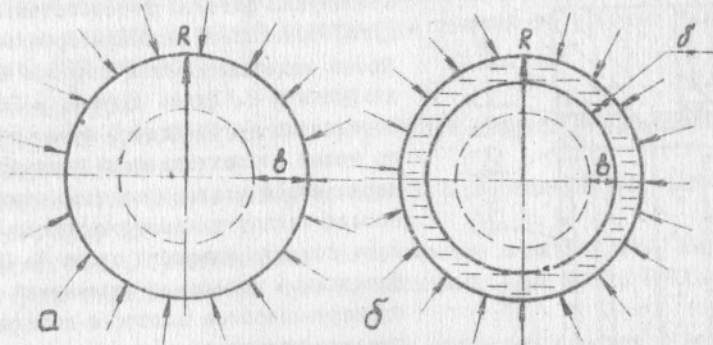


Рис.2. Схема нагрева (а) и оплавления (б) частицы.

Запишем уравнение теплопроводности для однородного шара с граничными условиями третьего рода / 2 /:

$$\frac{\partial u}{\partial t} = \alpha_r \frac{\partial^2 u}{\partial y^2}; \quad (1)$$

$$\left. \frac{\partial u}{\partial y} \right|_{y=0} + \frac{u(0,t)}{R} = -\frac{Bi \cdot Nu}{2R} (u_r - u_0), \quad (2)$$

где R - радиус частицы; γ - радиус, $y=R-\gamma$,

$$u=(\gamma-R)T, \quad U_r=R T_r, \quad U_0=R T_0$$

T_r - температура плазмы, T_0 - температура поверхности частицы

$$Bi = \frac{h_r}{k_r} \text{ число Био.}$$

Теплообмен сферического тела с газовыми потоком без учета излучения определяется уравнением / 2 /:

$$Nu = 2 + 0.6 Pr^{1/3} Re^{2/3}. \quad (3)$$

До начала плавления профиль $U(y)$ аппроксимируется квадратичным полиномом, удовлетворяющим граничному условию (2) и граничным усло-

$$vies T = 0, \quad \left. \frac{\partial T}{\partial y} \right|_{y=0} = 0 \quad \text{при } y=b$$

$$U(y) = \frac{Bi \cdot Nu \cdot U_r (y-b)^2}{2[1-(1-0.5 Bi \cdot Nu) \frac{b}{R}]^2 R} \quad (4)$$

Проинтегрируем уравнение теплопроводности в пределах от $0 \leq y \leq b$:

$$\frac{d}{dt} \int_0^b u dy = -\alpha_r \frac{\partial u}{\partial y} \Big|_{y=0}. \quad (5)$$

Подставив в (5) профиль $U(y)$ (4) и решая полученное уравнение, получим

$$\frac{6 \alpha_r t}{R^2} = \frac{1}{2} \left(\frac{b}{R} \right)^2 - 2 \frac{b}{R} - 4 \ln \left(1 - \frac{b}{2R} \right), \quad (6)$$

где $\tilde{R} = \frac{R}{1-0.5 Bi \cdot Nu}$, причем $0.5 Bi \cdot Nu \neq 1$.

Если $0.5 Bi \cdot Nu = 1$, то $b = \sqrt{6 \alpha_r t}$.

В момент оплавления поверхности

$$U_n = R T_n = \frac{Bi \cdot Nu \cdot b_n}{(2-Bi \cdot Nu)(2-b_n/R) \tilde{R}} U_r. \quad (7)$$

При этом прогревается слой толщиной

$$b_n = \frac{2R}{1+0.5 Bi \cdot Nu \left(\frac{T_r}{T_n} - 1 \right)}. \quad (8)$$

Время нагрева поверхности частицы до температуры плавления получаем, подставляя (8) в (6). Для случая $b \ll \tilde{R}$

$$t_n = \frac{2}{3} \frac{R^2}{\alpha_r \left[1 + 0.5 Bi \cdot Nu \left(\frac{T_r}{T_n} - 1 \right) \right]^2}. \quad (9)$$

Если тепловой фронт достигает центра частицы раньше, чем поверхность начинает плавиться, квадратичная аппроксимация профиля становится недостаточной для удовлетворения всем граничным условиям. В этом случае профиль $U(y)$ аппроксимируется кубическим полиномом:

$$U(y) = A(y-R)^3 + \left[A \frac{1+0.5 Bi \cdot Nu}{(2+0.5 Bi \cdot Nu)R} - \frac{Bi \cdot Nu \cdot U_r}{2(2+0.5 Bi \cdot Nu)R^3} \right] (y-R)^3. \quad (10)$$

Подставляя профиль (10) в интегральное уравнение, получаем следующее уравнение для определения коэффициента A :

$$\frac{dA}{dt} + \frac{12 \alpha_r}{R^2} \left(\frac{1-0.5 Bi \cdot Nu}{5+0.5 Bi \cdot Nu} \right) A = - \frac{18 \alpha_r}{R^2} \frac{Bi \cdot Nu}{5+0.5 Bi \cdot Nu} U_r. \quad (II)$$

Решая уравнение (II) с начальным условием

$$A(0) = \frac{Bi \cdot Nu}{2(1+0.5 Bi \cdot Nu)R^2} U_r,$$

получаем

$$A(t) = \frac{BiNuU_r}{R^2} \left[\frac{1}{2(1+0.5BiNu)} - \frac{18\alpha_r t}{(5+0.5BiNu)R^2} \right] \times \\ \times \exp \left\{ - \left[\frac{12(1-0.5BiNu)}{5+0.5BiNu} \right] \frac{\alpha_r t}{R^2} \right\}. \quad (12)$$

Подставляя выражение $A(t)$ из (12) в уравнение (10), получим зависимость распределения температуры от времени, начиная с момента достижения тепловым фронтом центра частицы.

Аналогично решается задача о проплавлении сферической частицы (рис. 2, б). Для оценки скорости проплавления в начале процесса: когда температура поверхности близка к T_p , можно считать тепловый поток в частицу постоянным. Ограничимся также случаем b_n/R .

Уравнение теплопроводности интегрируется в области $\delta < y \leq \delta$, где профиль $U(y)$ аппроксимируется полиномом

$$U = U_n \frac{(y - \delta - b)^2}{b^2},$$

где $U_n = T_p(R - \delta)$

В результате получается уравнение

$$\frac{1}{3} \frac{db}{dt} + \left[1 - \frac{b}{3(R-\delta)} \right] \frac{d\delta}{dt} = \frac{2\alpha_r}{R}. \quad (14)$$

В зоне $0 \leq y \leq b$ профиль $U(y)$ аппроксимируется формулой

$$U - U_n = (U_o - U_n) \left(1 - \frac{y^2}{\delta^2} \right) - \delta \left(\frac{4R}{\lambda_{jk}} + \frac{U_o}{R} \right) \frac{y}{\delta} \left(1 - \frac{y}{\delta} \right). \quad (15)$$

После подстановки профиля (15) в интегральное уравнение получаем

$$\left[\frac{2}{3}(U_o - U_{op}) \left(1 - \frac{\delta}{2R} \right) - \frac{1}{3} \frac{4R\delta}{\lambda_{jk}} \right] \frac{d\delta}{dt} + \frac{2}{3}\delta \left(1 - \frac{\delta}{4R} \right) \frac{dU_o}{dt} = 2U_n \left[\frac{11}{3} - \left(\frac{15U_o - 4U_n}{6} \right) \right]. \quad (16)$$

где $U_{op} = T_p R$.

Уравнением, замыкающим эту систему, будет условие сопряжения тепловых потоков на границе раздела $y = \delta$, где следует учитывать скрытую теплоту плавления γ_p .

$$(1 - \frac{\delta}{2}) \Gamma_p P_T \frac{d\delta}{dt} = \lambda_{jk} \left[\frac{2}{3} \frac{U_o - U_{op}}{R} \left(1 - \frac{\delta}{2R} \right) - \frac{Q}{\lambda_{jk}} \right] - \lambda_r \frac{2U_{op}}{Rb} \left(1 - \frac{b}{2R} - \frac{\delta}{R} \right). \quad (17)$$

Из системы уравнений (14), (16), (17), учитывая, что при $t = 0$ $\delta = 0$, $U_o = U_{op}$, $b = b_n$, где $U_{op} = RT_p$, b_n определяется из (8) при $t = t_n$ (9), получаем

$$\frac{dT_p}{dt} \approx \frac{Q^2}{\lambda_{jk} \Gamma_p P_T}; \quad \frac{d\delta}{dt} = \frac{Q}{\Gamma_p P_T}; \quad (18)$$

$$\frac{db}{dt} = \frac{3\alpha_r}{R} \left[1 + 0.5 BiNu \left(\frac{T_p}{T_n} - 1 \right) \right] - \frac{1 + 1.5 BiNu \left(\frac{T_p}{T_n} - 1 \right)}{1 + 0.5 BiNu \left(\frac{T_p}{T_n} - 1 \right)} \frac{Q}{\Gamma_p P_T}.$$

Пользуясь оценкой (18), можно определить глубину проплавления

$$\delta_{\text{през}} = \frac{\lambda_{jk} Nu T_p - T_n}{2 \Gamma_p P_T R} (t_p - t_n), \quad (19)$$

(13) где t_p — время нахождения частицы в высокотемпературной зоне. Задаваясь исходной несферичностью порошка $\delta_0 = 0.5(d_{\max} - d_{\min})$, где d_{\max} , d_{\min} — соответственно максимальный и минимальный размеры исходного зерна, из уравнения

$$\delta_0 = \delta_{\text{през}}, \quad (20)$$

де $\delta_{\text{през}}$ определяется по формуле (19), можно подобрать параметры теплового взаимодействия, обеспечивающие сфероидизацию частиц порошка. Наоборот, задаваясь параметрами теплового взаимодействия, можно из уравнений (19), (20) оценить предельно допустимую исходную несферичность частиц. Таким образом, уравнение (20) можно рассматривать как критерий сфероидизации крупных фракций порошков углоплавких материалов в термической плазме.

Расчет величин $\delta_{\text{през}}$, t_n по полученным формулам для частиц окиси циркония диаметром 300 мкм при $Nu = 10$, температуре аргоновой плазмы $T_p = 10^4$ К и $t_p = 0.5 \cdot 10^{-2}$ сек, дал $\delta_{\text{през}} = 30$ мкм, $t_n = 0.2 \cdot 10^{-2}$ сек.

Для исследования сфероидизации частиц в плазме дугового разряда в качестве исходного материала использовалась крупка из окиси циркония, стабилизированная окисью иттрия (рис. 3).

С целью определения влияния размера исходного материала плазменной обработке подвергались 4 партии частиц порошка с размерами исходного зерна: 1) $d \leq 0.1$ мм; 2) $0.28 \leq d \leq 0.32$ мм; 3) $0.32 \leq d \leq 0.4$ мм;

4) $0,4 \leq d \leq 1,00$ мм. Мощность плазмотрона составляла 25 квт, плазмообразующим и транспортирующим газом служил аргон. Стабильная работа плазмотрона с керамической межэлектродной вставкой при малых расходах газа ($G \approx 0,01$ г/сек) позволила увеличить время пребывания частицы в зоне высоких температур вплоть до времени, сравнимого со временем свободного падения частиц порошка (для частиц с размерами $d \geq 0,2$ мм).

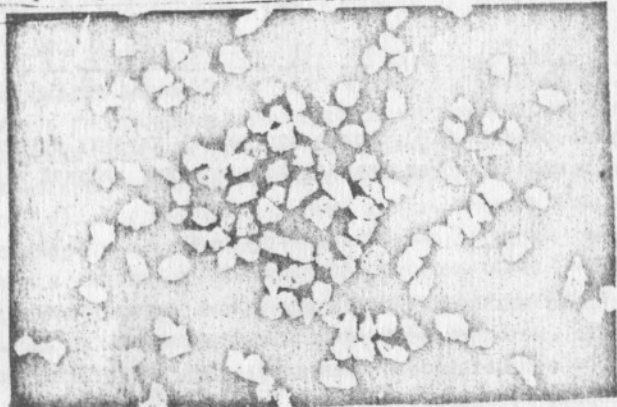


Рис.3. Частицы оксида циркония до обработки в плазме.

Частицы порошка после плазменной обработки представлены рис.4 а, б.

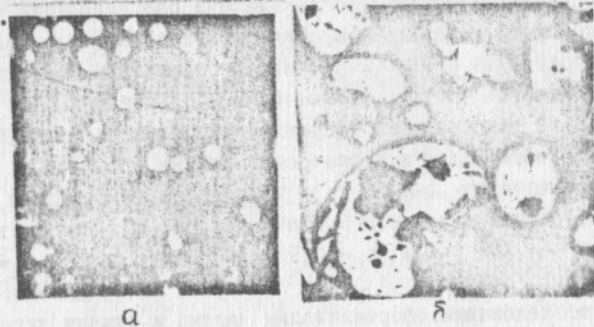


Рис.4. Частицы оксида циркония после плазменной обработки:
а) партия №2; б) партия №4.

Ситовой анализ обработанного материала (партии №2-4) показал, что уменьшение размера частиц составило от 30 до 50% соответственно для максимального и минимального размера частиц в каждой партии. Степень сферичности, достигнутая в результате плазменной обрабо-

реко уменьшается с ростом диаметра исходного зерна. Так, частицы партии №1 полностью сфероидизовались, частицы партии №2 (рис.4, а) также близки к сферам. Частицы партий №3 и 4 (рис.4, б) овализовались, но отношение максимального размера к минимальному значительно отличалось от частиц партии №1.

Для исследования микроструктуры были сделаны шлифы отдельных частиц, прошедших плазменную обработку. На рис.5 показан шлиф частицы размером 300 мкм после плазменной обработки. Толщина проплавленного слоя составляла 35 мкм.

Достигнутое удовлетворительное согласие расчетных данных с экспериментальными результатами указывает на приемлемость сделанных допущений, несмотря на содержащиеся в теории существенные источники погрешностей (например, неточность в определении теплофизических свойств порошка, хотя эти параметры могут существенно зависеть от температуры, допущение об однородности распределения температуры, скорости газа и массы материала по сечению цилиндрического канала).

Исследование микроструктуры сфероидизированных частиц показало почти полное заплавление мелких пор внутри проплавленного слоя. Вместе с тем поверхность частиц оказалась покрытой сеткой микротрещин, что, по-видимому, связано с высокой скоростью охлаждения частиц в закалочном устройстве.

На основе полученных результатов можно сделать вывод, что основными факторами, влияющими на степень сфероидизации, изменение гранулометрического состава порошка и структуру сфероидизированных частиц, являются отклонения от сферичности частиц исходного порошка, интенсивность теплового взаимодействия между частицей и плазмой, время нахождения частицы в высокотемпературной зоне и скорость охлаждения частиц в закалочном устройстве.

Нагрев частицы в канале плазмотрона следует производить до температуры плавления порошка, так как в противном случае возникает

трудности, связанные с засыпанием канала плазмотрона. Дальнейший нагрев нужно производить в факеле плазмотрона за выходным соплом-анодом. Вместе с тем, как показано выше, время нагрева крупных фракций частиц тугоплавких материалов оказывается одного порядка с временем проплавления. Такое время удержания частиц в зоне горения электрической дуги может быть обеспечено только применением плазмотронов с межэлектродными вставками при вводе частиц непосредственно в канал плазмотрона.

На основе оценок (9), (19) можно сделать вывод о том, что для увеличения глубины проплавления следует наряду с увеличением времени нахождения частиц в высокотемпературной зоне и температуры плазмы использовать плазмообразующие газы с высокой теплопроводностью, а также интенсифицировать конвективный теплообмен между плазмой и обрабатываемой частицей.

Литература

1. Краснов А.Н., Зильберберг В.Г., Шаривкер С.Д. Низкотемпературная плазма в металлургии, М., 1969.
2. Кутателадзе С.С., Основы теории теплопередачи. М-Л, Машгиз, 1957.
3. Goodman T.R. Trans. of the ASME, 1958, 8, № 2, p.335-341
4. Уриков Б.А. Изв. СО АН СССР, сер. техн. наук, 1975, № 8, в.2.

О СИЛОВЫХ НЕУСТОЙЧИВОСТЯХ В ПЛАЗМЕ

НИЗКОЙ ПРОВОДИМОСТИ

В.И.Гороховский

В связи со значительным интересом к проблеме использования сильноточных электрических разрядов в плотных средах для технологической обработки материалов в настоящей работе предпринято теоретическое рассмотрение устойчивости электрических разрядов в плазме низкой проводимости.

В работе / 1 / была рассмотрена устойчивость цилиндрического шнура плазмы низкой проводимости в вакууме. В настоящей работе рассматривается случай, когда средой, окружающей шнур плазмы, является жидкость конечной плотности, ограниченная непроводящим кожухом. Так как в / 1 /, предполагается, что по плазменному шнуру течет прямой ток с плотностью $j_0 = (0, 0, j_0)$, а проводимость

плазменного шнура постоянна по его сечению. Кроме того, пренебрегается температурными неоднородностями, вязкостью и сжимаемостью как внутри, так и снаружи плазменного цилиндра. В этих предположениях система уравнений магнитной гидродинамики (для возмущений) записывается в виде

$$\begin{aligned} \operatorname{div} \vec{v} &= 0, \quad \varrho \frac{d\vec{v}^i}{dt} = -\nabla p^i + [\vec{j} \times \vec{B}^i], \\ \operatorname{rot} \vec{B}^i &= \mu \vec{j}, \quad \Delta \vec{B} = 0, \\ \operatorname{rot} \vec{B}_e^e &= 0, \quad \varrho \frac{d\vec{v}^e}{dt} = \nabla p^e, \end{aligned} \quad (1)$$

где индексы i и e относятся соответственно к величинам внутри и вне проводящей зоны.

Выражения для равновесных значений гидродинамических величин имеют вид

$$\begin{aligned} p_0^i &= \mu j_0^2 \left(\frac{\gamma_0^2}{4} - \frac{\tau_0^2}{4} \right) + p_0, \quad \vec{B}_0^i = (0, \frac{\mu j_0 \tau_0}{2}, B_0), \\ \vec{B}_0^e &= (0, \frac{\mu j_0 \tau_0^2}{2 \tau}, B_0), \quad p_0^e = p_0, \end{aligned} \quad (2)$$

где τ_0 — равновесный радиус плазменного цилиндра.

Предполагая зависимость возмущенных величин от координат и времени в виде $f(\tau) \exp(i\omega t + im\varphi + ikz)$, рассмотрим вначале неустойчивости с $m \geq 1$.

Решая МГД-систему (1), получим:

$$\begin{aligned} j_y^i &= c_1 \frac{i m}{\tau} I_m(k\tau), \quad j_x^i = c_1 i k I_m(k\tau), \quad j_z^i = c_1 k I'_m(k\tau), \\ B_y^i &= c_2 \frac{m}{k\tau} I_m(k\tau) + c_1 \mu i \tau I'_m(k\tau), \quad B_z^i = c_2 I_m(k\tau), \\ p^i &= c_3 I_m(k\tau) - c_1 i \mu j_0 \tau I'_m(k\tau), \\ v_\tau^i &= c_4 \frac{i \mu j_0}{\omega \varrho} [I_m(k\tau) \kappa \tau + I_m(k\tau) \left(\frac{m \tilde{B}_0}{\tau} - \frac{k \tau}{2} \right)] - \\ &\quad - c_2 \frac{m j_0}{\omega \varrho k \tau} I_m(k\tau) - c_3 \frac{k}{\omega \varrho} I'_m(k\tau), \end{aligned} \quad (3)$$

$$B_z^e = c_6 K_m(k\tau), \quad p^e = c_4 I_m(k\tau) + c_5 K_m(k\tau),$$

где $\tilde{B}_0 = \frac{B_0}{\mu j_0}$; $I_m(x)$, $K_m(x)$ — модифицированные функции Бесселя. В приведенных решениях уже учтена ограниченность всех функций при $\tau = 0$. Условие равенства нулю нормальной компоненты скорости жидкости на границе с непроводящим кожухом (при $\tau = R$) дает